

مدل عددی سه بعدی پیش‌بینی حرکت لکه نفت ناشی از ریزش اتفاقی در ناحیه بین جزیره خارک و بندر بوشهر - سواحل شمالی خلیج فارس در تابستان

شهلا حبیبی واحد زنجانی^{*1}

shhabibip@standard.ac.ir

علی‌اکبر یدختی^۲

تاریخ پذیرش: ۹۳/۹/۱۲

تاریخ دریافت: ۹۲/۱۰/۷

چکیده

زمینه و هدف: این مقاله، مدل عددی سه بعدی بر اساس حل معادلات حاکم ناویر استوکس و پیوستگی جهت پیش‌بینی حرکت لکه نفتی ناشی از حادثه ریزش اتفاقی در ناحیه بین جزیره خارک و بندر بوشهر واقع در سواحل شمالی خلیج فارس را معرفی می‌کند.

روش بررسی: در این مدل با کمک معادله غلظت، مدل سه بعدی حرکت ذرات نفت در ستون آب به دست می‌آید. در فرمول‌بندی مدل از تقریب بوسینسک به صورت معادلات لیپس استفاده شده است. برای حل معادله فرا رفت در مدل، الگوریتم بالا سوی وزن دار تابرد مثبت معین چند بعدی (MPDATA)^۳ به کار رفته است. اساس این الگوریتم، طرحواره ساده پاد جریان‌سو است که در آن از مفهوم سرعت پاد پخش برای تعديل اثر پخش موجود در طرحواره استفاده می‌شود. در مدل، سرعت پاد و ضرایب پخش عمودی و افقی، چگالی جریان آب - نفت متغیر در نظر گرفته شده است.

یافته‌ها: مدل عددی با شبکه به ابعاد $180 \times 555 \times 555$ کیلومتر مربع، ۱۱۳۴۶ نقطه، $\Delta X = \Delta Y = 3000$ متر اجرا شده و شکل‌های توزیع غلظت و جهت ذرات نفت خام در تابستان طی ۱/۷، ۷ و ۱۴ ساعت پس از حادثه ریزش اتفاقی در ترازهای ۱۰، ۵ و ۱۵ متر از سطح آب به دست آمده است.

نتیجه‌گیری: مدل نشان می‌دهد جهت حرکت ذرات در تابستان به طرف بندر بوشهر می‌باشد که با تجربیات و مطالعات در توافق می‌باشد. این تحقیق می‌تواند در پیش‌بینی و جهت حرکت آلودگی نفت به منظور جمع آوری آلودگی ناشی از ریزش اتفاقی در دریا، جهت جلوگیری از خطر حرکت آن به طرف ساحل، مفید واقع شود.

کلمات کلیدی: مدل عددی، حرکت نفت، اختلاف محدود صریح، جزیره خارک و بندر بوشهر.

۱- استادیار گروه پژوهشی مکانیک و فلزشناسی، پژوهشکده برق، مکانیک و ساختمان، پژوهشگاه استاندارد^{*}(مسئول مکاتبات)

۲- دانشیار دانشکده محیط زیست-دانشگاه تهران.

مقدمه

و میدان فشار در سطح دریا را پیش بینی می کرد، معرفی شد. ریزش نفت حدود ۸۰۰۰۰ تن در محل مینا آل بکر (سواحل کویت) صورت گرفت که ۵۶۰ کیلومتر از ساحل عربستان سعودی را تحت تأثیر قرار داد. مدل که حرکات لکه را با داده های جوی پیش بینی می کرد، نشان داد که حرکات لکه ها با مشاهدات مربوط به گزارش رسانه ها نسبتاً خوب شبیه سازی شده است. در مدل فرآیندهای فیزیکی تبخیر، گسترش، حلالیت در نظر گرفته نشد.

در سال ۱۹۹۳ میلادی^(۳)، پرایس و همکاران، مطالعات خود را تحت عنوان مدل های عددی و تجربی برای انتقال سطحی ریزش نفت در خلیج فارس را ارائه دادند. این مطالعه شامل قسمت اول مدل مسیریابی ریزش نفت به نام Gulf slick II که توسط KFUPMRI توسعه یافت که انتقال سطحی ریزش نفت را شبیه سازی کرده و با کاربرد داده های بویه های (Mt Mitchell Cruise) شناور گشت دریابی مونت میشل (Mt Mitchell Cruise) آزمایش شد. نتایج نشان داد که مدل دقت معقولی داشته است. در سال ۲۰۰۷ دی مارتینو و همکاران^(۴)، در مورد شبیه سازی حرکت نفت با استفاده از مدل آب کم عمق، رفتار لکه نفت در سطح دریا با استفاده از یک مدل آب کم عمق با مرز آزاد مورد مطالعه قرار دادند این مدل توسط روش اولری لاگرانژی های با استفاده از روش مشخصه و با استفاده از یک گسسته فضایی گالرکین حل شده بود.

در سال ۱۳۹۱ بدري و همکاران^(۵)، شبیه سازی عددی حرکت لکه نفت در خلیج فارس را با تحت تأثیر قرار دادن عوامل جزر و مدی در نزدیکی جزیره خارک و بندر عسلویه را مطالعه کردند که در این شبیه سازی الگوی جریان آب با توجه به نوسانات سطح آب برای تعیین سرنوشت و انتقال آلدگی در دریا تعیین شد. مؤلفه های جزر و مدی مهم از طریق اعمال شرایط اولیه نوسانات آب در تنگه هرمز در محل جزیره هنگام در مدل داده شده بود که در نهایت بررسی نشان می داد که کاربرد توصیف فرآیندهای جابجایی انتشار پخش افقی و عمودی و استهلاک لکه نفتی به تخمین حجم باقیمانده نفت بر روی آب و مقدار

در سال های اخیر، مسئله افزایش آلدگی خط ساحلی توسط ریزش نفت مورد توجه بوده است. به طوری که فرآیندهای همچون تخلیه صنعتی، انتقال و اکتشاف نفت، امکانات ذخیره نفت، حرکت مکرر نفتکش ها و غیره، خطر حوادث ریزش نفت را افزایش داده است. ریزش عمدۀ نفت می تواند خط ساحلی را آلدود کند و باعث صدمات بلند مدت در محیط آبزیان برای ماهیگیری و حیات وحش شود. ریزش نفت ممکن است ساختارهای لنگرگاه و کشتی ها را نیز آلدود کند. برای آماده بودن چنین حوادثی، بسیاری از آژانس های دولتی، نقشه های ریزش نفت غیر مترقبه را تهیه کرده اند. مولفه مهم این نقشه ها، کاربرد مدل های عددی است که حرکت لکه نفت و توزیع غلط های ذرات نفت را در آبهای ساحلی پیش بینی می کند. ایجاد سیستمی کاربردی برای پیش بینی انتقال و پخش آلدگی نفتی در حوادث احتمالی ریزش در طی توسعه میدان های نفتی نیاز می باشد. امروزه خلیج فارس به علت برخورداری از ذخایر عظیم نفت و گاز با گستردگی تولید و صدور و به سبب دستیابی سریع به اقیانوس ها و آبهای آزاد از اهمیت بازگانی، ارتباطی و استراتژیکی خاص برخوردار می باشد.

در سال ۱۹۸۹ سگریک و همکاران^(۱)، جریان های سطحی ناشی از رانش باد را برای پیش بینی حرکات لکه نفت در خلیج فارس را بررسی کردند که شامل یک الگوریتم محاسباتی برای تعیین جریان های سطحی تحت شرایط باد بود که برای پیش بینی حرکت لکه نفت در خلیج فارس استفاده شد. در مدل هیدرودینامیک سه بعدی، جریان های سطحی برای هر سرعت باد داده شد. سرعت باد ترکیبی از هشت جهت اصلی باد و هفت سرعت باد در محدوده ۵ تا ۳۵ گره بود. این الگوریتم توانسته بود جریان های سطحی را با شرایط مختلف باد برای حرکات لکه نفت پیش بینی کند.

در سال ۱۹۹۲ میلادی^(۲)، پییر دانیل مطالعات خود را تحت عنوان مطالعه عددی حرکت لکه نفت در سطح دریا در خلیج فارس از ۲۵ ژانویه تا اول فوریه سال ۱۹۹۱ میلادی ارائه داد. جهت پیش بینی های دریابی، دو مدل جو جهانی که میدان باد

در سال ۱۳۸۰، سیدرضا صباغ یزدی(۸)، مدل دو بعدی جزر و مدي پراکنش نفت در خلیج فارس را با حل معادلات میانگین عمقی بر روی شبکه اجزای بی ساختار ارایه داد. به طوری که از نتایج آنالیز هارمونیک که نوسانات جزر و مدي را در نزدیکی تنگه هرمز شامل می شد برای شرایط مرزی جزر و مدي در تنگه هرمز استفاده شد.

در این مقاله، مدل عددی سه بعدی جهت ریزش اتفاقی نفت خام در منطقه میان بندر بوشهر و جزیره خارک با کمک داده های جوی و دریایی و حل معادلات حاکم فرآیندهای مؤثر بر نفت خام به همراه فرضیات و شرایط اولیه و مرزی شبیه سازی شده است. برای حل معادله فرا رفت در مدل، الگوریتم بالا سوی وزن دار تراپرد مثبت معین چند بعدی(MPDATA) به کار رفته است(۹). این مدل سابقا در منطقه دریایی عسلویه اجرا شده است و نتایج حاصل از مدل با مشاهدات سازگاری خوبی داشته است(۱۰).

مواد و روش ها

معادلات پایه مورد استفاده در مدل فرآیندهای مؤثر بر لکه نفت ریزش شده:

معادله گستردگی (گسترش لکه نفت در سطح آب) گسترش نفت، بسط افقی یک لکه نفت بدليل ثقل، اینرسی، ویسکوزیته و نیروهای تنش سطحی می باشد. Lehr همکاران (۱۹۸۴)، معادله اصلاح شده گسترش نوع فی با اثر باد را در نظر گرفتند (۱۱-۱۲). بر اساس معادله لهر، مساحت لکه نفت به دلیل گسترش در هر مرحله زمانی می تواند به دست آید. با توجه به این که لکه های نفت به طور نامتقارن گسترش می یابد، در مدل عددی فرض شده است که لکه نفت به شکل یک بیضی با محور بزرگ در جهت باد گسترش یافته که معادله این گستردگی توسط لهر به صورت زیر می باشد:

تبخیر - امولسیون و نفوذ ذر داخل آب در محل جزیره خارک و بندر عسلویه منجر می شود.

در سال ۱۳۹۱ صالحی پور باور صاد و همکاران(۶)، مدل سازی لکه نفتی و مقایسه مسیر حرکت تحت تأثیر بادهای مختلف در در جزیره لاوان واقع در شمال خلیج فارس را بررسی کردند. در این مطالعه از مدل عددی دو بعدی MIKE21 استفاده شده بود. مدل سازی انتشار لکه نفتی در مسیر خط لوله انتقال از سکوی بلال به جزیره لاوان برای دو وضعیت مختلف باد بررسی شد که نتایج شبیه سازی نشان داد که لکه نفتی به سمت جنوب شرقی آب های خلیج فارس حرکت می کند و غلظت آلودگی نسبت به اولین لحظه ریزش کاهش دارد. از این رو ارزیابی خطر و برنامه ریزی در خصوص آماده سازی و مقابله با آلودگی نفتی در نواحی اطراف سکوی نفتی و ساحل شمالی خلیج فارس ضروری دانسته شد.

در سال ۱۳۸۴ واصل علی و همکاران(۷)، بررسی تأثیر جریان های دریایی بر انتشار آلودگی های نفتی و مقایسه دو مدل ریاضی و تجربی در پیش بینی حرکت لکه های نفتی (مطالعه موردن خلیج فارس) را مطالعه کردند. در این تحقیق اهمیت حضور جریان های دائمی عرضی و طولی و قائم همانند جریان های بازگشتی، جریان های چگالی، جریان های سطحی، جریان های زیر سطحی و غیره و همچنین شبیه ساحل در کاهش آلودگی دریاها و بویه خلیج فارس بررسی شد. دو مدل ریاضی و تجربی به منظور مقایسه دو مدل با یکدیگر و پیش بینی حرکت لکه های نفتی در خلیج فارس تهیه شد. مدل ریاضی، مدل Gulfslik II بود که در آن شبیه سازی حرکت لکه های نفتی به وسیله اطلاعات بویه شناور انجام یافت. در مدل تجربی با استفاده از اطلاعات به دست آمده از بویه شامل سرعت باد و سرعت جریان حرکت لکه نفت پیش بینی شد. با مقایسه نتایج این دو مدل به نظر رسید که مقادیر به دست آمده در مدل ریاضی دقیق تر بوده است، اما روش های تجربی هم توانسته است در تحلیل نتایج و مقایسه با مدل ریاضی مفید واقع شود.

$$A = 2270 \left(\frac{\Delta\rho}{\rho_{oil}} \right)^{2/3} V_{oil}^{2/3} t^{1/2} + 40 \left(\frac{\Delta\rho}{\rho_{oil}} \right)^{1/3} V_{oil}^{1/3} U_{wind}^{4/3} t = \left(\frac{\pi}{4} \right) L_{min} L_{max} \quad \text{معادله ۱}$$

$$L_{min} = 53.76 \left(\frac{\Delta\rho}{\rho_o} \right)^{\frac{1}{3}} V_{oil}^{\frac{1}{3}} t^{\frac{1}{4}} \quad \text{معادله ۲}$$

$$L_{max} = L_{min} + 0.95 U_{wind}^{\frac{4}{3}} t^{\frac{3}{4}} \quad \text{معادله ۳}$$

$$\frac{\partial U}{\partial x} + \frac{\partial V}{\partial y} + \frac{\partial W}{\partial z} = 0 \quad \text{معادله ۴}$$

علائم فرمول‌ها در انتهای مقاله درج شده است. بر اساس معادله لهر، مساحت لکه نفت به دلیل گسترش در هر مرحله زمانی می‌تواند به دست آید.
مقادیر پارامترهای به کار رفته در مدل عددی:

$$t = (0, \dots, 21, 29/3), U_{wind} = 10, V_{oil} = 629/33, \rho_o = 875, \rho_w = 1027$$

توزیع غلظت نفت در آبهای ساحلی به شرح زیر می‌باشد

$$\frac{\partial U}{\partial x} + \frac{\partial V}{\partial y} + \frac{\partial W}{\partial z} = 0 \quad \text{معادله ۴}$$

معادلات ممتنم (حرکت) در جهت‌های y, x :

$$\frac{\partial U}{\partial t} + U \frac{\partial U}{\partial x} + V \frac{\partial U}{\partial y} + W \frac{\partial U}{\partial z} = -\frac{1}{\rho} \frac{\partial p}{\partial x} + \frac{\partial}{\partial x} (V_h \frac{\partial U}{\partial x}) + \frac{\partial}{\partial y} (V_h \frac{\partial U}{\partial y}) + \frac{1}{\rho} \frac{\partial (\tau_x)}{\partial z} + \Omega V \quad \text{معادله ۵}$$

$$\frac{\partial V}{\partial t} + U \frac{\partial V}{\partial x} + V \frac{\partial V}{\partial y} + W \frac{\partial V}{\partial z} = -\frac{1}{\rho} \frac{\partial p}{\partial y} + \frac{\partial}{\partial x} (V_h \frac{\partial V}{\partial x}) + \frac{\partial}{\partial y} (V_h \frac{\partial V}{\partial y}) + \frac{1}{\rho} \frac{\partial (\tau_y)}{\partial z} - \Omega U \quad \text{معادله ۶}$$

معادله انتقال ذره نفت:

$$\frac{\partial p}{\partial z} + \rho g \neq 0 \quad \text{معادله ۷}$$

معادله فشار غیر هیدروستاتیک :

$$\frac{\partial C}{\partial t} + \frac{\partial(UC)}{\partial x} + \frac{\partial(VC)}{\partial y} + \frac{\partial(WC)}{\partial z} = \frac{\partial}{\partial x}(D_x \frac{\partial C}{\partial x}) + \frac{\partial}{\partial y}(D_y \frac{\partial C}{\partial y}) + \frac{\partial}{\partial z}(D_z \frac{\partial C}{\partial z}) + \frac{\partial(\omega_b c)}{\partial z} + \sum S \quad \text{معادله ۸}$$

که در آن طول اختلاط l_{mo} که به سادگی تابع عمق نسبی (z/H) می باشد:

$$l_{mo} = 0.7z(1-z/H)^{0.5} \quad \text{معادله ۹}$$

در معادله ۸، ضرائب پخش افقی می توانند بوسیله معادلات ۱۵ و ۱۶ همار، والینگ فورد (hr,wallingford,1982) به دست آید که برای ضریب پخش عمودی، می تواند به عنوان تابع ویسکوزیته پیچکی آشفته بیان شود:

$$D_x = \frac{A_x}{A_{tx}}(F_0 + F_l Q_T) + \alpha Q_K \frac{\Delta x}{A_x} \quad \text{معادله ۱۵}$$

$$D_y = \frac{A_y}{A_{ty}}(F_0 + F_l Q_T) + \alpha Q_K \frac{\Delta y}{A_y} \quad \text{معادله ۱۶}$$

$$D_z = \frac{V_e}{\sigma_{\varphi z}} = \frac{V}{\sigma_{\varphi z}} + \frac{V_t}{\sigma_{\varphi z}} \quad \text{معادله ۱۷}$$

براساس مدل اختلاط آشفتگی طولی، همان معادله ۱۲،

ویسکوزیته آشفتگی می تواند به صورت زیر بیان شود:

$$\nu_t = \rho l_m^2 \left| \frac{\partial U}{\partial z} \right| \quad \text{معادله ۱۸}$$

که در آن (l_m) طول اختلاط در چریان نفت - آب می باشد و

به صورت زیر تعریف می شود:

$$\frac{l_m}{l_{mo}} = (1 + \beta R_i)^{-0.5} \quad \text{معادله ۱۹}$$

(l_{mo}) طول اختلاط طبیعی و $\beta = 20$ می باشد، که می

تواند از معادله ۱۴ به دست آید. R_i عدد ریچاردسون است که

به صورت زیر بیان می شود:

$$R_i = -\frac{g}{\rho} \frac{\partial \rho / \partial z}{(\partial U / \partial z)^2} \quad \text{معادله ۲۰}$$

که در آن $\left(\frac{\partial c}{\partial t} \right)$ تغییر سرعت زمانی محلی آلوده کننده در

یک نقطه خاص، $\vec{\nabla}(CU)$ جا به جایی یا حرکت آلوده- کننده به خاطر حرکت مرکزی خودش. $\vec{\nabla}(D\nabla C)$ پخش

آلوده کننده، $\left(\vec{\nabla} \right)$ عملگر برداری $\rightarrow \frac{\partial}{i}, \rightarrow \frac{\partial}{j}, \rightarrow \frac{\partial}{k}$ می باشد،

که در آن :

$$\omega_b = \frac{1}{18} \frac{\rho_w - \rho_o}{\rho_w} g \frac{d^2}{V_w} \quad \text{معادله ۹}$$

چگالی ρ و ویسکوزیته V بوسیله کسری از نفت در جریان مخلوط نفت - آب تشخیص داده می شود که می تواند به صورت زیر تعریف شود (۱۰-۱۱):

$$\rho = F_{ow} \rho_o + (1 - F_{ow}) \rho_w \quad \text{معادله ۱۰}$$

$$V = F_{ow} V_o + (1 - F_{ow}) V_w \quad \text{معادله ۱۱}$$

بر طبق تقریب بوزینس، تنش های رینولدز بر حسب ترم های ویسکوزیته آشفتگی بیان می شوند. همان طور که ترم های ویسکوزیته پیچکی افقی مورد توجه می باشد، فرض همگن بودن به کار می رود. برای ترم های مبادله عمودی، مدل اختلاط آشفتگی طولی به کار می رود و تنش های آشفتگی در معادلات ۵ و ۶ می توانند به صورت زیر بیان شود:

$$\tau_x = \nu_{tx} \frac{\partial U}{\partial z} = \rho l_{mo}^2 \left| \frac{\partial U}{\partial z} \right| \frac{\partial U}{\partial z} \quad \text{معادله ۱۲}$$

$$\tau_y = \nu_{ty} \frac{\partial V}{\partial z} = \rho l_{mo}^2 \left| \frac{\partial V}{\partial z} \right| \frac{\partial V}{\partial z} \quad \text{معادله ۱۳}$$

زمانی را در بر دارد. مدلی که انتخاب می‌شود، تفاضل رو به جلو برای مشتق زمانی و ترم‌های مکانی می‌باشد. با ترکیب معادلات تفاضل محدود صریح برای همه عناصر، یک معادله ماتریس پراکنده به دست می‌آید. بعد از اجرای مدل، جریانات به علاوه غلظت نفت در بدنه آب در هر مرحله زمانی می‌تواند به دست آید.

در مدل، برای محاسبه ضرایب پخش افقی در معادله ۸ از معادله زیر استفاده شده است (۱۱).

$$Dx = Dy = C_{sa} \Delta x \Delta y \left[\left(\frac{\partial U}{\partial x} \right)^2 + 0.5 \left(\frac{\partial V}{\partial x} + \frac{\partial U}{\partial y} \right)^2 + \left(\frac{\partial V}{\partial y} \right)^2 \right]^{1/2}$$

$$C_d = (2.28 + 0.033((U^2 + V^2)^{1/2} - 25))10^{-3}$$

فرضیات مدل

۱. در مدل هیدرودینامیک، معادله بودجه شوری و حرارت به کار نرفته است و چگالی ثابت می‌باشد،
 $\left(\frac{\partial \rho}{\partial t} = 0 \right)$ و سیال غیر لرج است.

۲. با توجه به تقریب بوسینسک، تغییرات چگالی صرف نظر شده است به جز جاهایی که شناوری تأثیر دارد.
 ۳. تقریب غیر هیدرستانیک می‌باشد و در معادله سوم حرکت از شتاب‌ها و تنش‌های متناظر آن صرف نظر نشده است، مولفه‌های عمودی سرعت مورد نظر می‌باشد.

۴. ترازیندی ستون آب در منطقه بین جزیره خارک و بندر بوشهر در سه تراز ۵، ۱۰ و ۱۵ متر از سطح در نظر گرفته شده است و در بعد قائم، آب کاملاً مخلوط نبوده و سرعت نسبت به عمق یکنواخت نمی‌باشد.

۵. تنش کف مورد نظر بوده است.

برای عدد اشمیت آشفته $\sigma_{\varphi z}$ ، نفوذ شناوری نیاز است که مورد توجه قرار گیرد و می‌تواند توسط معادله Munk Anderson محاسبه شود :

$$\sigma_{\varphi z} = \frac{(1 + 3.33R_i)^{1.5}}{(1 + 10R_i)^{0.5}} \quad ۲۱$$

بعد از به دست آوردن V_t ، $\sigma_{\varphi z}$ ضریب پخش عمودی می‌تواند به دست آید. در این مدل، میدان غلظت به وسیله میدان جریان محاسبه می‌شود. روش تفاضل محدود، یک روش مرحله

معادله ۲۲

که در آن $C_{sa} = ۰/۵$ ثابت اختیاری، $(\Delta y), (\Delta x)$ طول شبکه در جهت‌های x, y می‌باشد.

برای محاسبه ضریب پخش عمودی در معادله ۸ از معادلات ۱۱، ۱۸، ۱۹، ۲۰ و ۲۱ استفاده شده است.

برای محاسبه تنش سطح τ_{sx}, τ_{sy} و تنش بستر τ_{bx}, τ_{by} در معادلات ۵ و ۶ از روابط زیر استفاده شده است (۱۳) :

$$\tau_{sx} = C_d \rho_a (U^2 + V^2)^{1/2} U$$

$$\tau_{sy} = C_d \rho_a (U^2 + V^2)^{1/2} V$$

معادله ۲۳

$$\tau_{bx} = \rho_w k (U^2 + V^2)^{1/2} U$$

$$\tau_{by} = \rho_w k (U^2 + V^2)^{1/2} V$$

که در آن $(U), (V)$ مولفه‌های سرعت باد در ۱۰ متری بالای سطح دریا، k ضریب اصطکاک کف ۰۰۰۲ ، می‌باشد. برای سرعت‌های باد کمتر از ۲۵ متر بر ثانیه، ضریب پسا به صورت زیر محاسبه می‌شود:

$$C_d = (0/63 + 0/066(U^2 + V^2)^{1/2})10^{-3}$$

برای سرعت‌های باد بالاتر از ۲۵ متر بر ثانیه، وابستگی ضریب پسا به باد کاهش یافته، رابطه زیر به کار می‌رود:

- که قطرات در ستون آب در این فاصله زمانی همگی در داخل آب قرار دارند.
- .۱۹. حرکت نفت در ستون آب در نظر گرفته شده است .
- .۲۰. حرکت قطرات در ستون آب نسبت به زمان متغیر بوده است.
- .۲۱. در معادله غلظت، نفت خام به صورت یک مولفه در نظر گرفته شده است و چند مولفه‌ای نمی باشد.
- .۲۲. قطر قطرات مولفه نفت خام متغیر بوده است (اقطار بزرگ و کوچک)
- .۲۳. شاره نیوتینی بوده، گرادیان سرعت شاره با تنش برشی ایجاد شده توسط حرکت شاره ارتباط مستقیم دارد،
- $$\left(\tau = \mu \frac{du}{dt} \right)$$
- .۲۴. جریان تلاطمی بوده و حرکت شاره یکنواخت نمی باشد و اجزای شاره حرکت نامنظمی دارند.
- .۲۵. چگالی و ویسکوزیته جریان نفت- آب نسبت به زمان متغیر در نظر گرفته شده است .
- .۲۶. با توجه به کم بودن تغییرات فشار جو نسبت به فشارهای مربوط به امواج روی سطح دریا ، فشار در سطح دریا ثابت فرض شده است (۱۰۰۰ میلی بار).

شرایط اولیه

- ۱- با توجه به سخت بودن مرزها (Rigid- Lid) ، تغییرات عمودی آب در مرزها صفر است
- $$\left(\frac{\partial \eta}{\partial t} = 0 \right)$$
- ۲- بالا روی عمودی آب در مرزها صفر است، اما در سایر نقاط شبکه برای شرایط اولیه از جدول جزر و مدي استفاده شده است
- | | | | | |
|-----|----|----|-----|-----|
| مرز | در | در | مرز | سخت |
|-----|----|----|-----|-----|
- $$Z(x, y, t=0) = \eta_0(x, y) = 0$$
- ۳ $u = v = w = 0$ (سرعت) در مرز سخت می باشد، در
- $$u(x, y, t=0) = u_0(x, y) = 0$$
- $$v(x, y, t=0) = v_0(x, y) = 0$$
- $$w(x, y, t=0) = w_0(x, y) = 0$$

۶. تغییرات پارامتر کوریولیس مورد نظر نبوده و نیروی کوریولیس در تمام نقاط ثابت فرض شده است،
- $$\cdot \left(B = \frac{\partial f}{\partial y} = 0 \right)$$
- . ۷. سرعت و تنش باد متغیر فرض شده و جهت باد غالب، شمال غربی در نظر گرفته شده است .
- . ۸- دمای میانگین آب در کلیه نقاط شبکه در تابستان متغیر فرض شده است .
- . ۹. فشار بخار نفت در تابستان متغیر در نظر گرفته شده است .
- . ۱۰. سیال تراکم ناپذیر بوده و چگالی ثابت است
- $$\cdot \left(\vec{\nabla} \cdot \vec{u} = 0 \right)$$
- . ۱۱. مقادیر سرعت u, v, w در زمان‌های مختلف در ترازهای مختلف در نظر گرفته شده است .
- . ۱۲. فرآیند تبخیر، حلایت و پخش عمودی در عبارت تعادل جرمی در معادله انتقال جرم (غلظت) در نظر گرفته شده است.
- . ۱۳. در معادله حرکت، ترم‌های غیر خطی (فرافت) حذف نشده است.
- . ۱۴. تنش سطحی ناشی از برش باد روی آب از قانون مرتبه دوم سرعت (تون دوم سرعت باد) استفاده شده است ،
- $$\left(T \propto W^2 \right)$$
- . ۱۵. تغییرات فشار به جز در مرز سخت نسبت به سطح در تمام نقاط شبکه در ۲۳ ایستگاه متغیر بوده است.
- . ۱۶. در مدل از ویسکوزیته پیچکی و شرایط جوی صرف نظر نشده است.
- . ۱۷. لکه نفت به صورت بیضی فرض شده است و ضخامت برای کل لکه یکسان فرض شده و به صورت لکه نازک و ضخیم در نظر گرفته نشده است. ضخامت لکه، نسبت به زمان متغیر بوده است.
- . ۱۸. از بازگشت مجدد قطرات نفت به سطح در فاصله زمانی Δt صرف نظر شده است و فرض شده است

- ۱۰- مرحله زمانی $\Delta t = 5$ ثانیه می باشد .
- ۱۱- ضریب ویسکوزیته پیچکی عمودی $V_v = 10^{-5} - 10^{-1} m^2 / s$ و افقی $V_h = 10 - 10^5 m^2 s^{-1}$ می باشد
- ۱۲- مقادیر اولیه خواص نفت خام در شرایط اولیه طبق جدول ۱ می باشد .
- ۱۳- چگالی ثابت می باشد، $\frac{\partial \rho}{\partial t} = 0$
- ۱۴- شتاب گرانی ثابت است ($g = 9.8$).
- ۱۵- مقادیر اولیه فشار به جز در مرز سخت طبق جدول جزر و مدی می باشد .
- ۱۶- نتش برشی هوا - نفت با تنش برشی بین هوا و آب یکسان در نظر گرفته نشده است، جدول ۱.
- ۱۷- مولفه عمودی سرعت W صفر نمی باشد (تقریب غیر هیدرولیک) .
- ۱۸- مقیاس $\Delta x = \Delta y = 3000$ متر می باشد.

جدول ۱- داده های ورودی به کار رفته در مدل های هیدرولیک و ریزش نفت (۱۵-۱۶)

ردیف	بعض فرآورده	وزن مخصوص (کیلوگرم بر متر مکعب)	کنماتیک ویسکوزیته (ساندی بیز)	پرسه (کیلوگرم بر متر مکعب)	نشیخه (دین بر سانتی پتر)	فشار پذیر (اتمسفر) ^۱	قابلیت حلایت در آب (میلی گرم در لیتر)	API gravity
۱	۱۴۱۲	۱۲۸	۰.۰۱۲۶	۵۲۵	۱۹.۲	۸۷۵	۳۰.۲۱	۱۸
	جذر میانگین مربعات ارتفاع موج (H_{rms} متر)	ارتفاع موج موثر (H_S متر)	عمق شکست موج (متر)	ارتفاع موج شکست (متر)	عمق نفوذ ذرات نفت در آب (متر)	ضریب پخش نفت در آب (متربربع بر ثانیه)	عدد اشمیت (سی بعد)	
	not SI) - Kinematic Viscosity , $Im^2 s^{-1} = 10^4 \text{ cm}^2 s^{-1} (= 10^4 \text{ stokes-1})$	$atm = 101325 \text{ Pa}$, $1 \text{ bIn}^2 = 6894.76 \text{ Pa (N/m}^2\text{)}$						

ادامه جدول ۱- داده های ورودی به کاررفته در مدل های هیدرودینامیک و ریزش نفت

ردیف	حجم مولای (مترمکعب بر مول)	ثابت گاز (R)	وزن مخصوص آب (کیلوگرم بر مترمکعب)	ویسکو زیته آب (سانسی پور)	غلاظت رسوب معلق در آب (کیلوگرم بر مترمکعب)	قطر رسوب معلق در آب (میلیمتر)	دمای میانگین (درجه سانتی گراد)
۱	6×10^{-6}	$8,206 \times 10^{-5}$	1027	۱	۰,۲	۰,۰۴۳	تابستان : ۳۵,۵۱۵

ادامه جدول ۱- داده های ورودی به کاررفته در مدل های هیدرودینامیک و ریزش نفت

ردیف	نوع فرآورده	کل ریزش	شرایط ریزش	قابل و محاسبه (مترمکعب)	حجم (تریش) (مترمکعب)	تفاوت درجه شبکه	نقطه محل ریزش در شبکه	$\Delta x = \Delta y$ (متر)	تعداد (دیف شبکه)	تعداد مستون شبکه
۱	نفت خام	بنزین بنزینه خارک و بندر پور شهر	فوری	180×555	۱۱۳۴۶	۱۹	ستون : ۷۵ ردیف : ۱۹	۳۰۰	۰-۶۰	-۱۸۵

شرایط موزی

- ۱- حالت نفوذ ناپذیر (نفوذ شاره به داخل و خارج مرز امکان پذیر نیست) شاره به مرز چسبیده است .
- ۲- در مرزها هیچ جریان ورودی و خروجی وجود ندارد و تغییرات عمودی آب صفر است.

۱- تمام مرزها جامد (سخت) است ، بدون لغزش، غیر قابل نفوذ، نشت ناپذیر می باشد . مرز دارای حرکت نمی باشد. حرکت شاره در مجاورت مرز، صفر است .

۲- مرکز ساکن ، $U \rightarrow$ غیر لغزشی و چرخش نیست (سرعت شاره در مرز صفر است)

) می باشد . محل ریزش اتفاقی نفت خام بین جزیره خارک و بندر بوشهر ۲۱ کیلومتر دور از ساحل در نقطه مختصات عرض

جغرافیایی $29^{\circ}2'$ شمالی و طول جغرافیایی $50^{\circ}30'$ شرقی (نقطه مختصات ردیف ۱۹ و ستون ۷۵) در ساعت ۱۰ صبح هفتم جولای (۱۶ تیر) ۲۰۰۵ میلادی (تابستان) انتخاب شد. میانگین دما در تابستان $35/515$ درجه سانتی گراد و سرعت باد $5/96$ متر بر ثانیه بوده است. مقادیر جداول جزر و مدي در ایستگاههای استانهای خوزستان و بوشهر که شامل خرمشهر، چوبیده، خورموزی، بندر امام خمینی، ماهشهر، هندیجان، بوظاھری، دیلم، بندر امام حسن، جزیره خارک، گناوه، بندر ریگ، بندر بوشهر، هلیله، محمدامیر، بندرامیر، لاوان ساحلی، بردخون، دیر، کنگان ، بندر طاھری ، نخل تقی و تبن می باشند، برای روز حادثه استفاده شده است، (۲۰) .

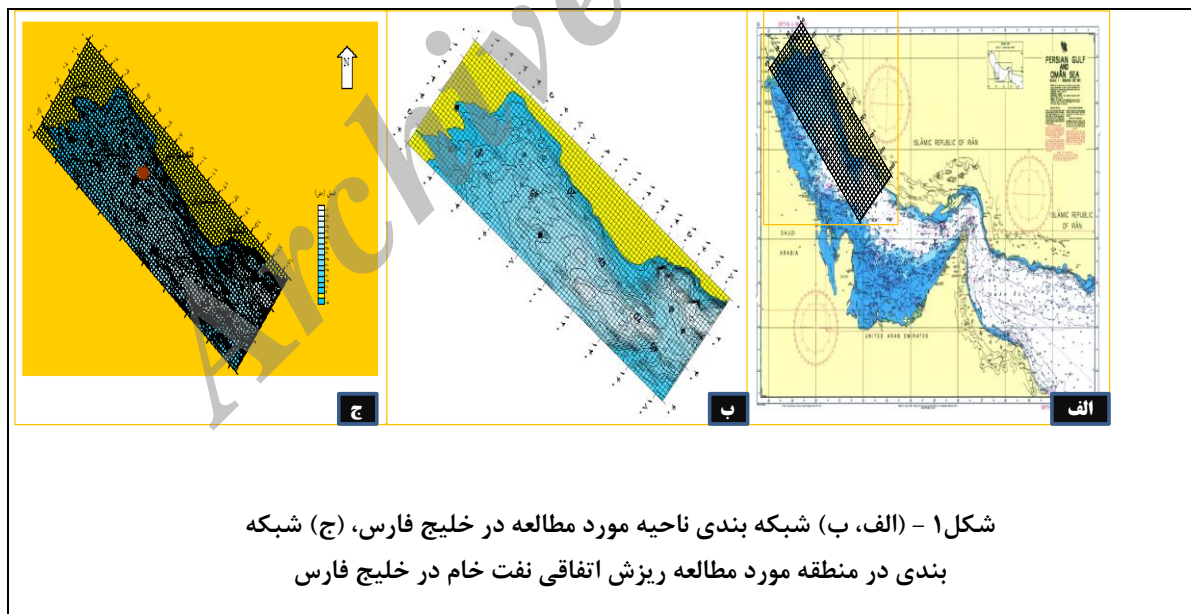
شکل های ۱ و ۲ شبکه بندی و توپوگرافی منطقه مورد مطالعه را نشان می دهد.

۳- در مرز سخت، مولقه عمودی سرعت (عمود بر مرز) صفر می باشد.

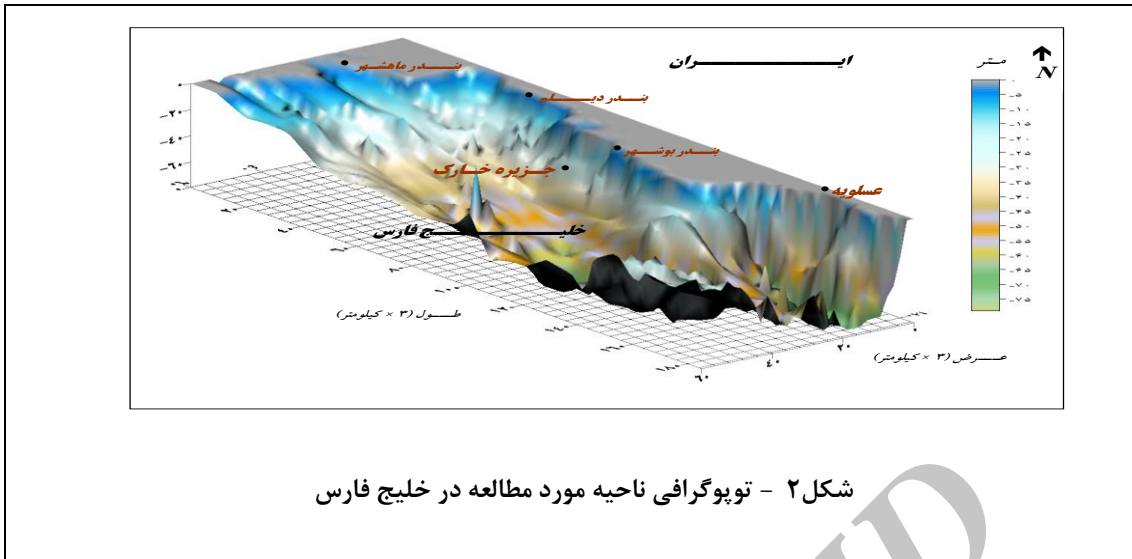
۴- در مرز سخت، افت و خیز سطح صفر است و تنش رینولدز در سطح مرز صفر است (شرط غیر لغزشی).

شبکه بندی مدل

۱-۶ شبکه بندی منطقه مورد مطالعه در خلیج فارس خلیج فارس در عرض جغرافیایی $24^{\circ}30'$ درجه شمالی و طول جغرافیایی $48^{\circ}56.5'$ درجه شرقی قرار دارد. در نقشه به مقیاس ۱:۷۵۰۰۰۰ خلیج فارس (تهیه شده از سازمان نقشه برداری کشور)، یک شبکه مربع مستطیل با توجه به جهت باد غالب شمال غربی به ابعاد 555×180 کیلومتر مربع با $\Delta x = \Delta y = 3000$ متر با ردیف (۰-۶۰) و ستون (۰-۱۸۵) با تعداد نقاط شبکه ۱۱۳۴۶ نقطه رسم شد. شبکه در عرض جغرافیایی $30^{\circ}30'-26^{\circ}45'$ شمالی و طول جغرافیایی $53^{\circ}-48^{\circ}$ شرقی قرار داشته و شامل رأس خلیج فارس در شمال تا بندر جوادالائمه در شرق (سواحل شمالی خلیج فارس



شکل ۱ - (الف، ب) شبکه بندی ناحیه مورد مطالعه در خلیج فارس، (ج) شبکه بندی در منطقه مورد مطالعه ریزش اتفاقی نفت خام در خلیج فارس



ساختمان مدل ریزش نفت

توزیع نفت در سه تراز محاسبه می شود که شامل ترازهای ۵ و ۱۰ و ۱۵ متر از سطح می باشد.

معرفی مدل

مدلی که در این مطالعه استفاده می شود یک مدل غیر هیدرورستاتیک است که در فرمول‌بندی آن از تقریب بوسینسک به صورت معادلات لیپس (۱۹۹۰) (۲۱) استفاده شده است. با توجه به روابط بیان شده فرمول‌بندی مدل به صورت زیر می باشد: (۲۲) (اسمولار، کیویچ و مارگولین، ۱۹۹۵):

$$\frac{Du}{Dt} = -\frac{\partial \pi}{\partial x} - \alpha(u_e) - \frac{\partial \tau_{ij}}{\partial x_j} \equiv F^u \quad 24$$

$$\frac{Dv}{Dt} = -\frac{\partial \pi}{\partial y} - \alpha(v) \equiv F^v \quad 25$$

$$\frac{Dw}{Dt} = \frac{\partial \pi}{\partial z} + \alpha(w) \equiv F^w \quad 26$$

معادله غلظت :

$$\frac{\partial c}{\partial t} + \frac{\partial(UC)}{\partial x} + \frac{\partial(VC)}{\partial y} + \frac{\partial(WC)}{\partial z} = \frac{\partial}{\partial x}\left(D_x \frac{\partial C}{\partial x}\right) + \frac{\partial}{\partial y}\left(D_y \frac{\partial C}{\partial y}\right) + \frac{\partial}{\partial z}\left(D_z \frac{\partial C}{\partial z}\right) + \frac{\partial(\omega C)}{\partial z} + \sum s \quad 27$$

مدل، شامل دو مدل هیدرودینامیک و ریزش نفت می باشد که پارامترهای به کار رفته در مدل هیدرودینامیک طبق جدول ۱ شامل تعداد نقاط شبکه، اندازه شبکه، ضرایب پخش افقی و عمودی ویسکوزیته پیچکی. مرحله زمانی $\Delta t = 5$ ثانیه، دمای آب، دامنه و فاز جزر مدی می باشد. پارامترهای به کار رفته در مدل ریزش نفت طبق جدول ۱ و مرحله زمانی $\Delta t = 5$ ثانیه می باشد.

جريان و سرعت جريان جزر و مدی، فاكتورهای مهم در جابه جایی ریزش نفت در سطح و زیر سطح می باشد. برای اين منظور از مدل هیدرودینامیک که با کمک معادلات حرکت و پیوستگی و به روش تفاضل محدود صریح حل شده، استفاده می شود. که ورودی های مدل شامل سرعت باد، ارتفاع جزر و مدی، دما با توجه به شرایط مرزی و اولیه می باشد. خروجی مدل، مولفه های سرعت های عمودی و افقی هر نقطه شبکه می باشد که به بانک اطلاعات وارد شده و به عنوان داده های ورودی وارد مدل ریزش نفت می شود. در این مدل از معادله غلظت و نظریه طول اختلاط استفاده می شود.

مولفه‌های سرعت متعامد در معادله ۳۶، معادله بیضوی به دست می‌آید. (*GCR*) با شرایط مرزی مناسب برای مولفه‌های عمودی سرعت میتوان این معادله بیضوی را با استفاده از روش مانده همیوغ تعمیم یافته که یک روش حل برای معادله بیضوی Generalized-Conjugate-Residual مقادیر جدید U^n, V^n, W^n به دست می‌آید. سرانجام با داشتن مقادیر جدید متغیرهای مدل، می‌توان واداشت‌های مورد نیاز برای گام زمانی بعدی را محاسبه کرد. بعد از محاسبه واداشت‌ها و متغیرهای دینامیکی شارش، با استفاده از معادله غلظت، مقادیر غلظت در گام‌های زمانی بعدی محاسبه می‌شود. معادلات ۲۹ تا ۲۲ شکل جداسازی شده معادلات حرکت، پیوستگی و غلظت را نشان می‌دهد.

معادلات حرکت:

معادله پیوستگی:

$$\frac{\partial \bar{\rho}u}{\partial x} + \frac{\partial \bar{\rho}v}{\partial y} + \frac{\partial \bar{\rho}w}{\partial z} = 0 \quad ۲۸$$

π پریشیدگی فشار نسبت به نمایه‌های محیطی است که به وسیله چگالی بهنجار شده، C غلظت آلایینده و F نشان-دهنده مجموع واداشت‌ها است.

پارامتر α در معادلات ۲۴، ۲۵ و ۲۶ کار جذب امواج گرانی را در لبه‌های مدل انجام داده و جواب‌ها را در مرزها به سمت

$$\alpha = \frac{1}{1000} s^{-1} \quad \text{مقادیر مرزی سوق می‌دهند:}$$

در این مدل τ_x و τ_y که نشان دهنده اثر تنفس باد است با توجه به مرجع (۲۳) به دست آمده است.

برآورد کمیت‌های مدل به وسیله الگوریتم MPDATA (مسئله مقدار مرزی)

در الگوریتم مدل، یک معادله فشار بیضوی با استفاده از معادله پایستگی جرم ۳۶ وارد شده است. به این ترتیب که معادلات ۲۶ تا ۲۴ را نسبت به U^n, V^n, W^n وارون می‌کنیم. با جایگذاری

معادله ۲۹

$$\begin{aligned} U_{i,j,k}^{n+1} = & -U_{i,j,k}^n \frac{(U_{i+1,j,k}^n - U_{i,j,k}^n)}{\Delta x} \Delta t - V_{i,j,k}^n \frac{(U_{i,j+1,k}^n - U_{i,j,k}^n) \Delta t}{\Delta y} - W_{i,j,k}^n \frac{(U_{i,j,k+1}^n - U_{i,j,k}^n) \Delta t}{\Delta z} \\ & - g \left[\frac{\eta_{i+1,j,k}^n - \eta_{i,j,k}^n}{\Delta x} \right] \Delta t + V_h \left[\frac{U_{i+2,j,k}^n - 2U_{i+1,j,k}^n + U_{i,j,k}^n}{\Delta x^2} \right] \Delta t + V_h \left[\frac{U_{i,j+2,k}^n - 2U_{i,j+1,k}^n + U_{i,j,k}^n}{\Delta y^2} \right] \Delta t + \\ & \left[0/7z_{i,j,k} (1 - z_{i,j,k}/H)^{0/5} \right]^2 \Delta t \left[\frac{U_{i,j,k+2}^n - 2U_{i,j,k+1}^n + U_{i,j,k}^n}{\Delta z^2} \right] \left[\frac{U_{i,j,k+1}^n - U_{i,j,k}^n}{\Delta z} + \frac{U_{i,j,k+2}^n - 2U_{i,j,k+1}^n + U_{i,j,k}^n}{\Delta z^2} \right] \left[\frac{U_{i,j,k+1}^n - U_{i,j,k}^n}{\Delta z} \right] + \\ & 2*7/29*10^{-5} V_{i,j}^n \sin \varphi \Delta t + U_{i,j,k}^n \end{aligned}$$

معادله ۳۰

$$\begin{aligned}
 V_{i,j,k}^n = & -U_{i,j,k}^n \frac{(V_{i+1,j,k}^n - V_{i,j,k}^n) \Delta t}{\Delta x} - V_{i,j,k}^n \frac{(V_{i,j+1,k}^n - V_{i,j,k}^n) \Delta t}{\Delta y} - W_{i,j,k}^n \frac{(V_{i,j,k+1}^n - V_{i,j,k}^n) \Delta t}{\Delta z} - \\
 & g \left[\frac{\eta_{i,j+1,k}^n - \eta_{i,j,k}^n}{\Delta y} \right] \Delta t + V_h \left[\frac{V_{i+2,j,k}^n - 2V_{i+1,j,k}^n + V_{i,j,k}^n}{\Delta x^2} \right] \Delta t + \\
 & V_h \left[\frac{V_{i,j+2,k}^n - 2V_{i,j+1,k}^n + V_{i,j,k}^n}{\Delta y^2} \right] \Delta t + \left(0 / 7z_{i,j,k} (1 - z_{i,j,k} / H)^{0.5} \right)^2 \Delta t \left[\left| \frac{V_{i,j,k+2}^n - 2V_{i,j,k+1}^n + V_{i,j,k}^n}{\Delta z^2} \right| \frac{V_{i,j,k+1}^n - V_{i,j,k}^n}{\Delta z} + \frac{V_{i,j,k+2}^n - 2V_{i,j,k+1}^n + V_{i,j,k}^n}{\Delta z^2} \left| \frac{V_{i,j,k+1}^n - V_{i,j,k}^n}{\Delta z} \right| \right] - \\
 & 2 * 7 / 29 * 10^{-5} U_{i,j,k}^n \sin \varphi \Delta t + V_{i,j,k}^n
 \end{aligned}$$

معادله ۳۱

$$W_{i,j,k}^n = \frac{-1}{2} \left[\frac{U_{i+1,j+1,k}^n - U_{i-1,j+1,k}^n}{\Delta x} + \frac{U_{i+1,j-1,k}^n - U_{i-1,j-1,k}^n}{\Delta x} + \frac{V_{i-1,j+1,k}^n - V_{i-1,j-1,k}^n}{\Delta y} + \right. \\
 \left. \frac{V_{i+1,j+1,k}^n - V_{i+1,j-1,k}^n}{\Delta y} \right] (-h_{i,j,k}^n)$$

معادله ۳۲

$$\begin{aligned}
 C_{i,j,k}^{n+1} = & -U_{i,j,k}^n \frac{(C_{i+1,j,k}^n - C_{i,j,k}^n) \Delta t}{\Delta x} - C_{i,j,k}^n \frac{(U_{i+1,j,k}^n - U_{i,j,k}^n) \Delta t}{\Delta x} - \\
 & V_{i,j,k}^n \frac{(C_{i,j+1,k}^n - C_{i,j,k}^n) \Delta t}{\Delta y} - C_{i,j,k}^n \frac{(V_{i,j+1,k}^n - V_{i,j,k}^n) \Delta t}{\Delta y} - \\
 & W_{i,j,k}^n \frac{(C_{i,j,k+1}^n - C_{i,j,k}^n) \Delta t}{\Delta z} - C_{i,j,k}^n \frac{(W_{i,j,k+1}^n - W_{i,j,k}^n) \Delta t}{\Delta z} + \\
 & D_x \frac{(C_{i+2,j,k}^n - 2C_{i+1,j,k}^n + C_{i,j,k}^n) \Delta t}{\Delta x^2} + D_y \frac{(C_{i,j+2,k}^n - 2C_{i,j+1,k}^n + C_{i,j,k}^n) \Delta t}{\Delta y^2} + \\
 & D_z \frac{(C_{i,j,k+2}^n - 2C_{i,j,k+1}^n + C_{i,j,k}^n) \Delta t}{\Delta z^2} + \Delta t \left(\frac{1}{18} \frac{\rho_w - \rho_o}{\rho_w} g \frac{d^2}{V_w} \right) * \\
 \frac{C_{i,j,k+1}^n - C_{i,j,k}^n}{\Delta z} = & \sum S * \Delta t + C_{i,j,k}^n
 \end{aligned}$$

معادله غلظت :

نتایج

جغرافیایی $27^{\circ}40'N$ و طول جغرافیایی $52^{\circ}20'E$ در شبکه بندهی نقشه خلیج فارس را نشان می‌دهد.

مقایسه داده‌های سرعت جریان حاصل از اجرای مدل و اندازه‌گیری میدانی در بندر طاهری (شبکه بندهی نقشه خلیج فارس)

جدول ۲ مقایسه مقادیر میانگین سرعت‌های جریان حاصل از اجرای مدل و مشاهده در بندر طاهری در نقطه عرض

جدول ۲- مقایسه مقادیر میانگین سرعت‌های جریان (m/s) حاصل از اجرای مدل و مشاهده در بندر طاهری (E $52^{\circ}20'$ و N $27^{\circ}40'$) در نقشه خلیج فارس

ردیف	عمق (متر)	مدل	مشاهده (۱۳۸۴) (درصد)	خطای نسبی (درصد)
۱	۵	۰,۰۲۱۷	۰,۰۲۷۷	۲۱,۶۶
۲	۱۵	۰,۰۲۱۹	۰,۰۶۹	۶۸,۲۶

عرض جغرافیایی N $27^{\circ}3'79''$ و طول جغرافیایی E $52^{\circ}22'75''$ را نشان می‌دهد که در عمق ۱۰ متر سازگاری خوبی وجود دارد.

مقایسه داده‌های سرعت جریان حاصل از اجرای مدل و داده‌های گشت مونت میشل

جدول ۳ مقایسه مقادیر سرعت‌های جریان (m/s) حاصل از اجرای مدل و داده‌های گشت مونت میشل (۲۴) را در نقطه

جدول ۳- مقایسه مقادیر سرعت‌های جریان (m/s) حاصل از اجرای مدل و داده‌های گشت مونت میشل (۱۹۹۲) در نقطه E $52^{\circ}22'75''$ و N $27^{\circ}0'3'79''$

ردیف	عمق (متر)	مدل عددی	مونت میشل	خطای نسبی (درصد)
۱	۱۰	۰,۱۶۱۲۹۷	۰,۲۲۶۲	۲۸,۷
		۰,۰۴۷۱۸۴	۰,۰۵۴۹	۱۴,۰۵
۲	۲۰-۲۴	۰,۲۳۳۸۳	۰,۱۶۲۷	۳۰,۴۲
		۰,۰۷۳۶۴۱	۰,۰۳۹۷	۴۶,۰۹

عرض جغرافیایی E $50^{\circ}50'$ (۵ متر از سطح آب) (۲۵) نشان می‌دهد که سازگاری خوبی وجود دارد.

مقایسه داده‌های سرعت جریان حاصل از اجرای مدل و اندازه‌گیری میدانی در بندر بوشهر

جدول ۴ مقایسه مقادیر سرعت‌های جریان حاصل از اجرای مدل و مشاهده در نقطه عرض جغرافیایی N $28^{\circ}59'$ و طول

جدول ۴- مقایسه مقادیر سرعت‌های جریان (m/s) حاصل از اجرای مدل و مشاهده در بندر بوشهر (۲۸° N و ۵۰° E) در ۵ متر از سطح آب

خطای نسبی (درصد)	مشاهده		مدل	مقادیر	ردیف
	مقدار	زمان			
۱۰/۶	۰/۴۹	۱۰/۱۳/۹۶	۰/۴۳۸	حداکثر	۱
۲۱/۷	۰/۰۳	۱۰/۱۳/۹۶	۰/۰۲۳۵	حداقل	
۱۵/۸	۰/۵۲	۱۰/۲۳/۹۶	۰/۴۳۸	حداکثر	۲
۲۱/۷	۰/۰۳	۱۰/۲۳/۹۶	۰/۰۲۳۵	حداقل	
۱۸/۹	۰/۵۴	۱۰/۲۵/۹۶	۰/۴۳۸	حداکثر	۳
۲۱/۷	۰/۰۳	۱۰/۲۵/۹۶	۰/۰۲۳۵	حداقل	
۱۶	۰/۱۳	۱۰/۱۳/۹۶	۰/۱۰۹۲	بعد از ۷ ساعت	۵
۰/۷۳	۰/۱۱	۱۱/۱۴/۹۶	۰/۱۰۹۲	بعد از ۷ ساعت	
۴/۲	۰/۱۴۹	۱۰/۳۱/۹۶	۰/۱۴۲۸	میانگین	۷

مقایسه مقادیر غلظت هیدروکربن حاصل از اجرای مدل و انجام آزمایش سازمان محیط زیست

جدول ۵ مقایسه مقادیر غلظت هیدروکربن‌ها (میکروگرم بر گرم) حاصل از اجرای مدل و مشاهدات (سازمان محیط زیست ایران) را نشان می‌دهد.

جدول ۵- مقایسه مقادیر غلظت هیدروکربن‌ها (میکروگرم بر گرم) حاصل از اجرای مدل و مشاهدات (سازمان محیط زیست ایران)

خطای نسبی(درصد)	مشاهدات	مدل	مقادیر غلظت	ردیف
۱,۹۲۱	(گشت فردوس)	۵۶,۶۷	حداکثر	۱
۱۲,۱۶۳	۵۷,۷۸	۱۷,۴۸۰۶	میانگین	
	۱۹,۹۰۱۲۶			
۶,۳۳۰۶	(گشت فردوس)	۵۶,۶۷	حداکثر	۲
۱۱,۶۷۴	۶۰,۵	۱۷,۹۵۰۲۷	میانگین	
	۲۰,۳۲۲۸			
۱۴,۴۶۲	(گشت قدس)	۱۷,۴۸۰۶	میانگین	۳
	۲۰,۴۳۶			

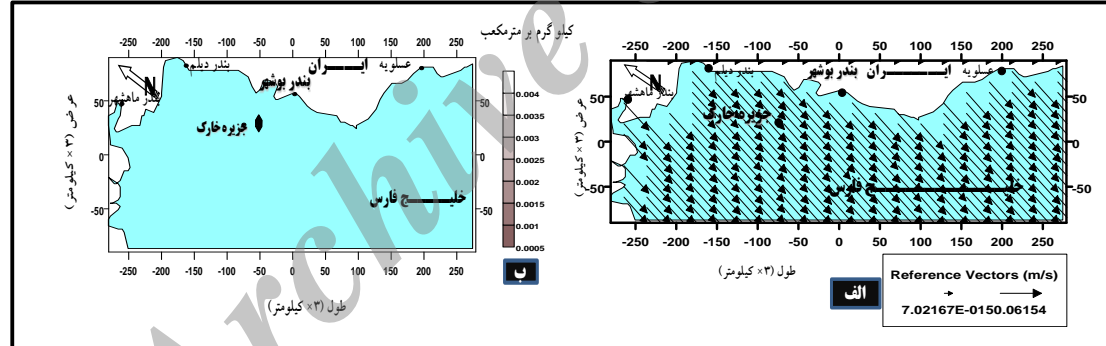
سطح آب شکل ۳-ب، موجب گستردنی نفت خام و کشیدگی آن پس از ۱/۷ ساعت از حادثه ریزش اتفاقی شده است، شکل ۳-الف. حداقل، حداکثر و میانگین غلظت ذرات به ترتیب $10^{-3} \times 10^{-3}$ و $10^{-3} \times 10^{-3}$ کیلوگرم بر متر مکعب و حداقل، حداکثر و میانگین سرعت جریان به ترتیب $10^{-6} \times 10^{-6}$ و $10^{-6} \times 10^{-6}$ متر بر ثانیه می باشد. شکل ۴-الف توزیع غلظت ذرات نفت خام در تراز ۵ متر از سطح آب پس از ۷ ساعت از حادثه ریزش را نشان می دهد که تجمع و گستردنی کمتری دارد که با توجه به جریان های جنوب و جنوب غربی و جریان برگشتی شمالی شکل ۴-ب می باشد.

حداقل، حداکثر و میانگین غلظت ذرات به ترتیب $10^{-9} \times 10^{-9}$ و $10^{-9} \times 10^{-9}$ کیلوگرم بر متر مکعب و حداقل، حداکثر و میانگین سرعت جریان به ترتیب $10^{-6} \times 10^{-6}$ و $10^{-6} \times 10^{-6}$ متر بر ثانیه می باشد.

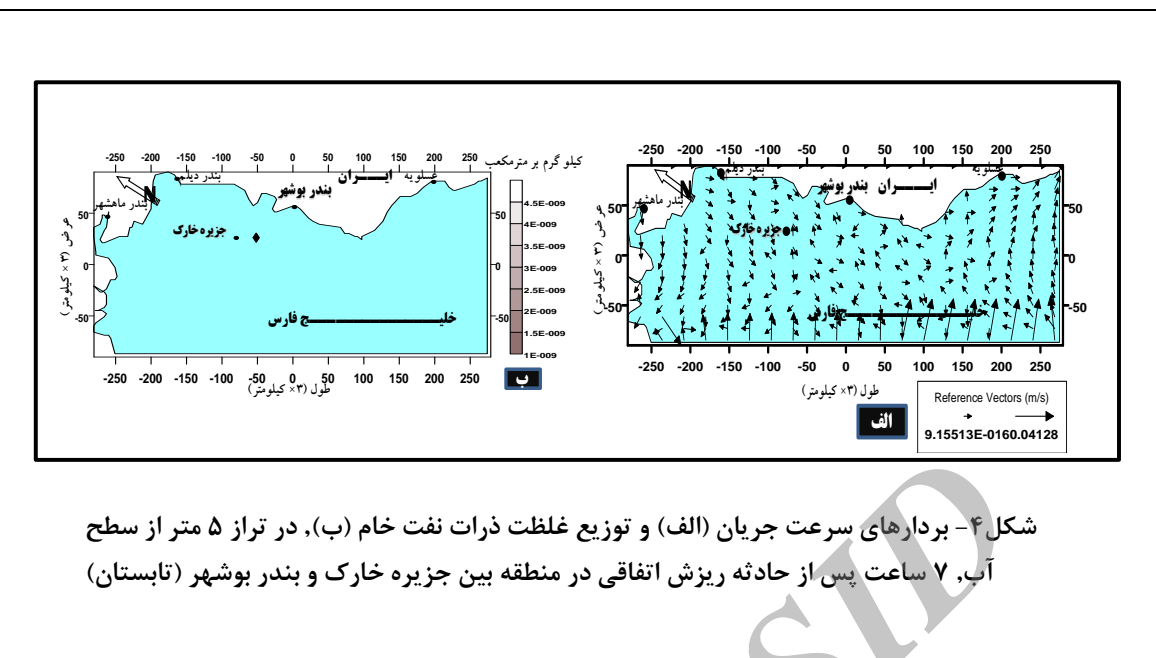
بحث

در مدل عددی، حادثه ریزش اتفاقی نفت خام در منطقه بین جزیره خارک و بندر بوشهر و با توجه به شرایط مرزی و اولیه و شبکه بندی (180×555) کیلومتر مربع و حجم ریزش $629/33$ متر مکعب و محل ریزش 21 کیلومتر دور از ساحل بندر بوشهر (ردیف ۱۹ و ستون ۷۵)، فرآیندهای موثر و سرنوشت نفت خام بررسی شد. توزیع غلظت ذرات نفت خام و بردارهای سرعت جریان در ترازهای 5 ، 10 و 15 متر از سطح آب طی، $1/7$ ، $1/6$ و $1/4$ ساعت پس از حادثه ریزش اتفاقی در منطقه بین جزیره خارک و بندر بوشهر حاصل از اجرای مدل (تابستان) به دست آمد.

با توجه به محل ریزش اتفاقی نفت خام در منطقه بین جزیره خارک و بندر بوشهر شکل ۱-ج و باد شمالی غربی در تابستان، جریان های یکنواخت جنوب غربی در تراز ۵ متر از



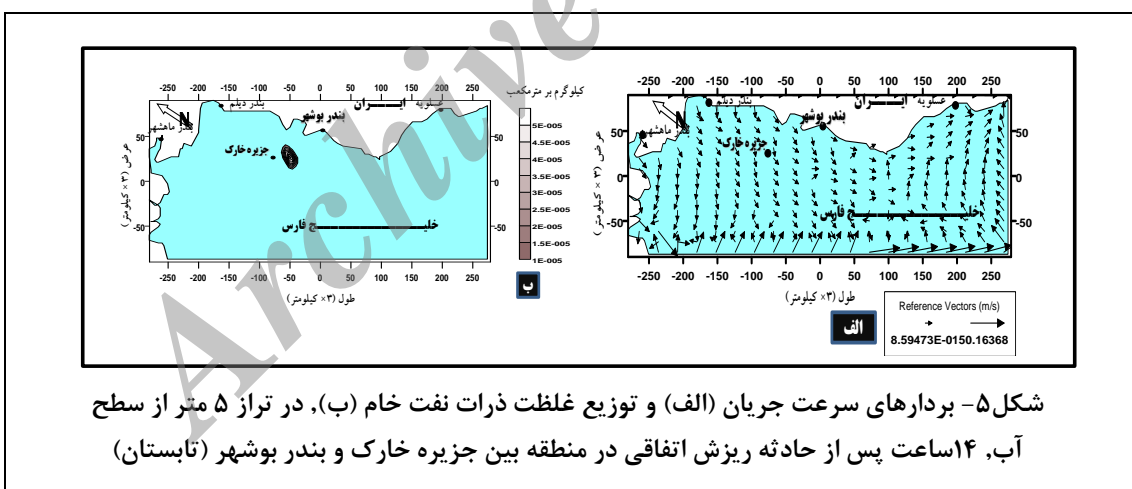
شکل ۳-بردارهای سرعت جریان (الف) و توزیع غلظت ذرات نفت خام (ب)، در تراز ۵ متر از سطح آب، ۱/۷ ساعت پس از حادثه ریزش اتفاقی در منطقه بین جزیره خارک و بندر بوشهر (تابستان)



شکل ۴- بردارهای سرعت جریان (الف) و توزیع غلظت ذرات نفت خام (ب)، در تراز ۵ متر از سطح آب، ۷ ساعت پس از حادثه ریزش اتفاقی در منطقه بین جزیره خارک و بندر بوشهر (تابستان)

ذرات به ترتیب 1×10^{-5} ، 10×10^{-5} و 3×10^{-5} کیلو گرم بر متر مکعب و حداقل، حداکثر و میانگین سرعت جریان به ترتیب 10^{-6} ، 8.6×10^{-6} و 0.16×10^{-6} متر بر ثانیه می باشد.

در شکل ۵-الف توزیع غلظت ذرات در تراز ۵ متر از سطح آب پس از ۱۴ ساعت از حادثه ریزش را نشان می دهد که ذرات گستردگی بیشتری را داشته اند و با توجه به جریان جنوب و جنوب غربی شکل ۵-ب می باشد. حداقل، حداکثر و میانگین



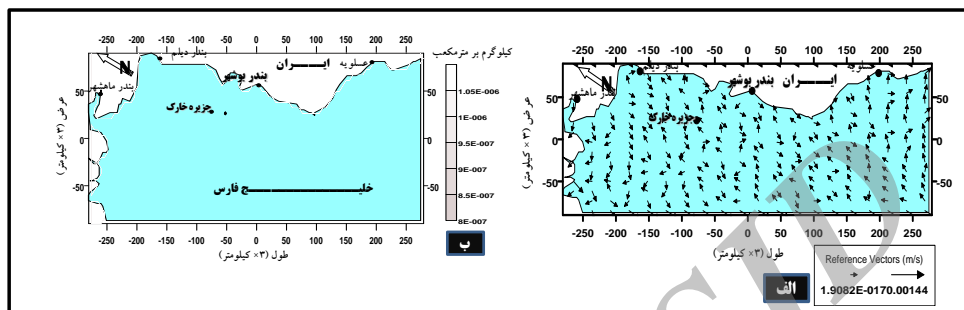
شکل ۵- بردارهای سرعت جریان (الف) و توزیع غلظت ذرات نفت خام (ب)، در تراز ۵ متر از سطح آب، ۱۴ ساعت پس از حادثه ریزش اتفاقی در منطقه بین جزیره خارک و بندر بوشهر (تابستان)

در شکل ۵-الف توزیع غلظت در تراز ۱۰ متر از سطح آب، طی ۱۴ ساعت پس از حادثه ریزش را با گستردگی کمتر نشان می دهد که با توجه به جریان های جنوب و جنوب غربی و جریان برگشتی شمال و شمال شرقی می باشد شکل ۶-ب. حداقل، حداکثر و میانگین ذرات به ترتیب 10^{-6} ، 8×10^{-6} و 10.5×10^{-6} کیلو گرم بر متر مکعب می باشد و حداقل، حداکثر و میانگین سرعت جریان به ترتیب 10^{-6} ، 1.9×10^{-6} و 1.05×10^{-6} متر بر ثانیه می باشد. در شکل ۷-الف توزیع غلظت در تراز ۱۰ متر از سطح آب، طی ۷ ساعت پس از حادثه ریزش را نشان می دهد که گستردگی ذرات بیشتر بوده است که با توجه به جریان جنوب و جنوب غربی و جریان برگشتی شمالی شکل ۷-ب می باشد و حداقل، حداکثر و میانگین توزیع غلظت ذرات به ترتیب 10^{-6} ، 8×10^{-6} و 1.3×10^{-6} کیلو گرم بر متر مکعب و حداقل، حداکثر و

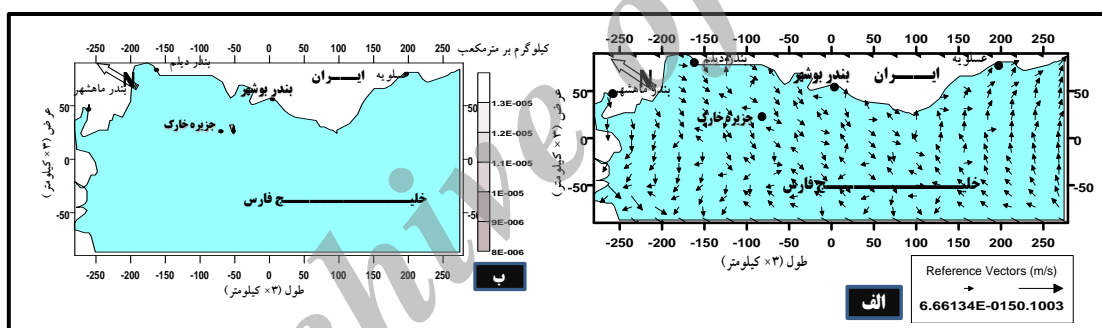
در شکل ۶-الف توزیع غلظت در تراز ۱۰ متر از سطح آب، طی ۱۷ ساعت پس از حادثه ریزش را با گستردگی کمتر نشان می دهد که با توجه به جریان های جنوب و جنوب غربی و جریان برگشتی شمال و شمال شرقی می باشد شکل ۶-ب. حداقل، حداکثر و میانگین ذرات به ترتیب 10^{-6} ، 8×10^{-6} و 10.5×10^{-6} کیلو گرم بر متر مکعب می باشد و حداقل، حداکثر و میانگین سرعت جریان به ترتیب 10^{-6} ، 1.9×10^{-6} و 1.05×10^{-6} متر بر ثانیه می باشد.

جريان برگشتی شمالی مشاهده نمی شود. حداقل، حداکثر و میانگین توزیع غلظت ذرات به ترتیب 1.3×10^{-6} ، 5×10^{-6} و 10^{-6} کیلوگرم بر متر مکعب است. میانگین سرعت جريان به ترتیب 10 m/s ، 0.08 m/s و 0.1 m/s متر بر ثانیه می باشد.

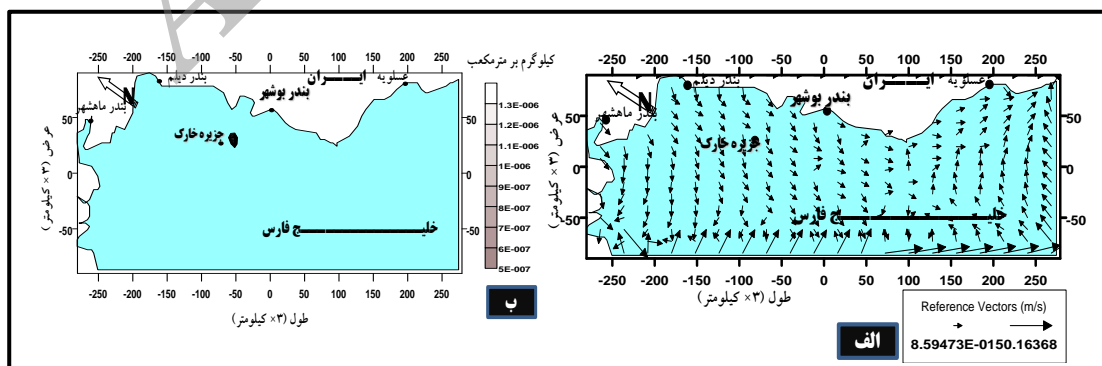
میانگین سرعت جريان به ترتیب 10 m/s ، 0.08 m/s و 0.1 m/s متر بر ثانیه می باشد. شکل ۸-الف توزیع غلظت ذرات در تراز ۱۰ متر از سطح آب، ۱۴ ساعت پس از حادثه ریزش رانشان می دهد که گسترده‌گی بیشتر داشته است که با توجه به جريان جنوب و جنوب غربی شکل ۸-ب می باشد که در این مرحله



شکل ۶- بردارهای سرعت جريان (الف) و توزیع غلظت ذرات نفت خام (ب)، در تراز ۱۰ متر از سطح آب، ۱/۷ ساعت پس از حادثه ریزش اتفاقی در منطقه بين جزیره خارک و بندر بوشهر (تابستان)



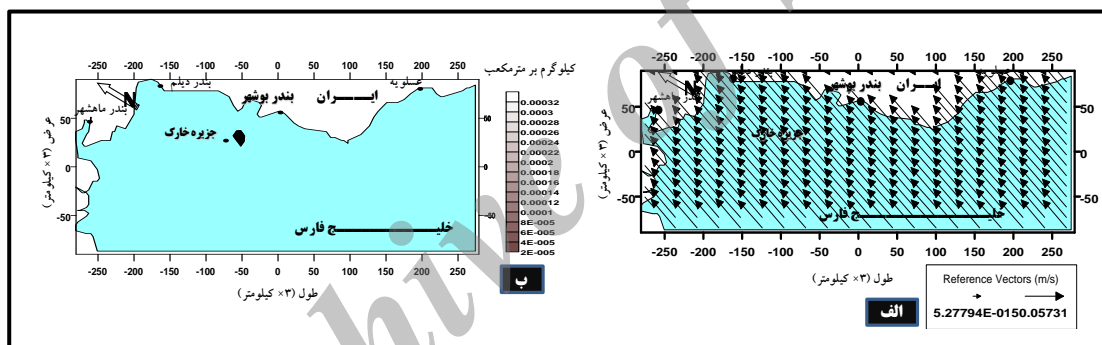
شکل ۷- بردارهای سرعت جريان (الف) و توزیع غلظت ذرات نفت خام (ب)، در تراز ۱۰ متر از سطح آب ۷ ساعت پس از حادثه ریزش اتفاقی در منطقه بين جزیره خارک و بندر بوشهر (تابستان)



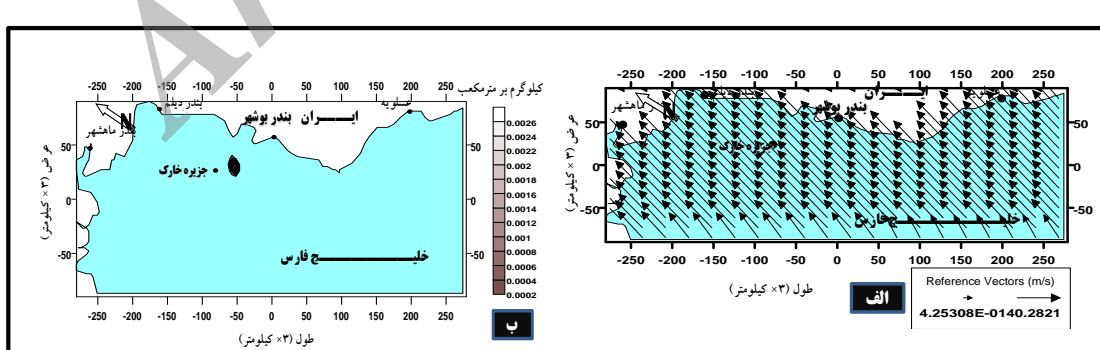
شکل ۸- بردارهای سرعت جريان (الف) و توزیع غلظت ذرات نفت خام (ب)، در تراز ۱۰ متر از سطح آب ۱۴ ساعت پس از حادثه ریزش اتفاقی در منطقه بين جزیره خارک و بندر بوشهر (تابستان)

سرعت جریان به ترتیب 4.2×10^{-6} ، 4.2×10^{-6} و 1.4×10^{-6} متر بر ثانیه می باشد. در شکل ۱۱-الف توزیع غلظت ذرات نفت خام در تراز ۱۵ متر از سطح آب طی ۱۷ ساعت پس از حادثه را نشان می دهد که گستردگی کمی داشته است و با توجه به جریان های برگشتی یکنواخت شمالی شکل ۹-بمی باشد. حداقل، حداکثر و میانگین غلظت ذرات به ترتیب 1.7×10^{-5} ، 2.2×10^{-5} و 1.0×10^{-5} کیلوگرم بر متر مکعب و حداقل، حداکثر و میانگین سرعت جریان به ترتیب 5.3×10^{-6} ، 8.6×10^{-6} و 1.6×10^{-6} متر بر ثانیه می باشد. به طور کلی در حادثه ریزش اتفاقی در منطقه بین جزیره خارک و بندر بوشهر پس از گذشت ۱۴ ساعت توزیع غلظت ذرات نفت خام به صورت تکه های جداگانه نبوده است و مربوط به سرعت جریان کمتر و آشفتگی کمتر می باشد.

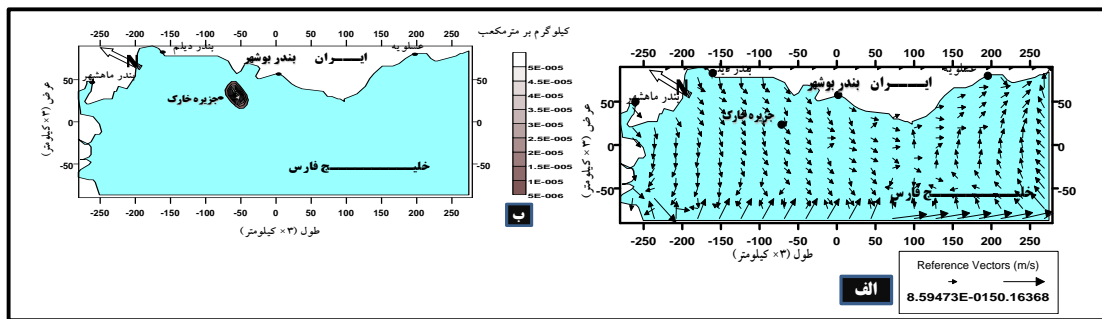
شکل ۹-الف توزیع غلظت ذرات نفت خام در تراز ۱۵ متر از سطح آب طی ۱۷ ساعت پس از حادثه را نشان می دهد که گستردگی کمی داشته است و با توجه به جریان های برگشتی یکنواخت شمالی شکل ۹-بمی باشد. حداقل، حداکثر و میانگین غلظت ذرات به ترتیب 1.7×10^{-5} ، 2.2×10^{-5} و 1.0×10^{-5} کیلوگرم بر متر مکعب و حداقل، حداکثر و میانگین سرعت جریان به ترتیب 5.3×10^{-6} ، 8.6×10^{-6} و 1.6×10^{-6} متر بر ثانیه می باشد. شکل ۱۰-الف توزیع غلظت ذرات نفت خام در تراز ۱۵ متر از سطح آب طی ۷ ساعت پس از حادثه را نشان می دهد که گستردگی کمتری داشته است و با توجه به جریان برگشتی یکنواخت شمالی می باشد شکل ۱۰-ب. حداقل، حداکثر و میانگین غلظت ذرات به ترتیب 0.0002 ، 0.00026 و 0.0004 کیلوگرم بر متر مکعب و حداقل، حداکثر و میانگین



شکل ۹-بردارهای سرعت جریان (الف) و توزیع غلظت ذرات نفت خام (ب)، در تراز ۱۵ متر از سطح آب طی ۱/۷ ساعت پس از حادثه ریزش اتفاقی در منطقه بین جزیره خارک و بندر بوشهر (تابستان)



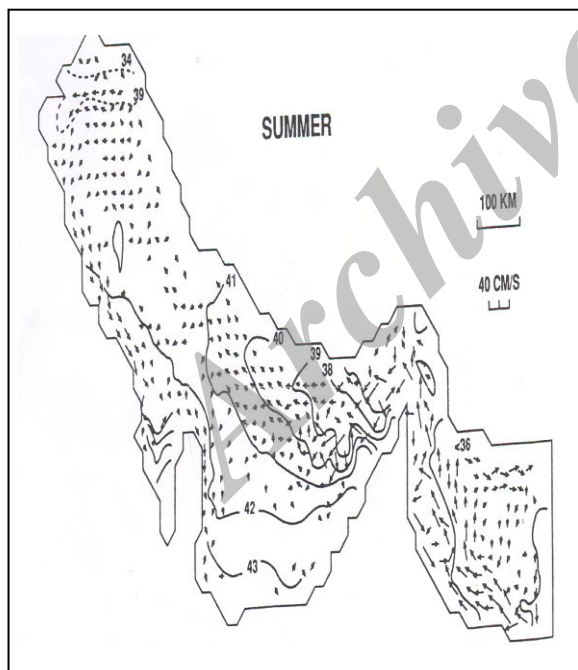
شکل ۱۰-بردارهای سرعت جریان (الف) و توزیع غلظت ذرات نفت خام (ب)، در تراز ۱۵ متر از سطح آب طی ۷ ساعت پس از حادثه ریزش اتفاقی در منطقه بین جزیره خارک و بندر بوشهر (تابستان)



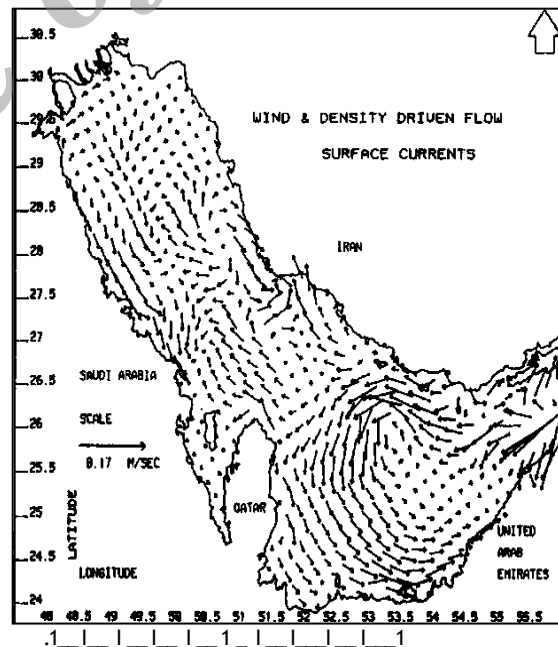
شکل ۱۱- بردارهای سرعت جریان (الف) و توزیع غلظت ذرات نفت خام (ب)، در تراز ۱۵ متر از سطح آب، ۱۴ ساعت پس از حادثه ریزش اتفاقی در منطقه بین جزیره خارک و بندر بوشهر (تابستان)

۱۵ متر از سطح آب، ۱/۷ ساعت پس از حادثه ریزش اتفاقی و شکل ۱۱- الف بردارهای سرعت جریان در تراز ۱۵ متر از سطح آب، ۱۴ ساعت پس از حادثه ریزش اتفاقی با شکل ۱۴ و ۱۵ (۲۴) سازگاری دارد.

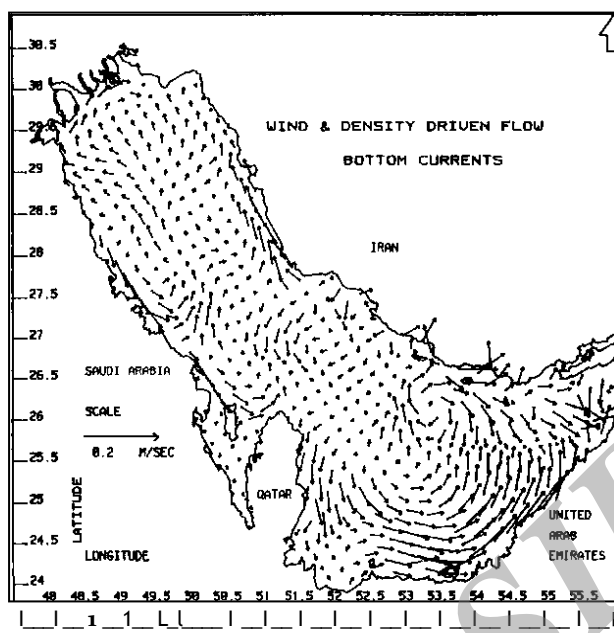
شکل ۳- الف بردارهای سرعت جریان در تراز ۵ متر از سطح آب طی ۱/۷ ساعت پس از حادثه ریزش اتفاقی و شکل ۵- الف بردارهای سرعت جریان در تراز ۵ متر از سطح آب، ۱۴ ساعت پس از حادثه ریزش اتفاقی با شکل ۱۲ (۲۳) و شکل ۱۳ سازگاری دارد و شکل ۹- الف بردارهای سرعت جریان در تراز



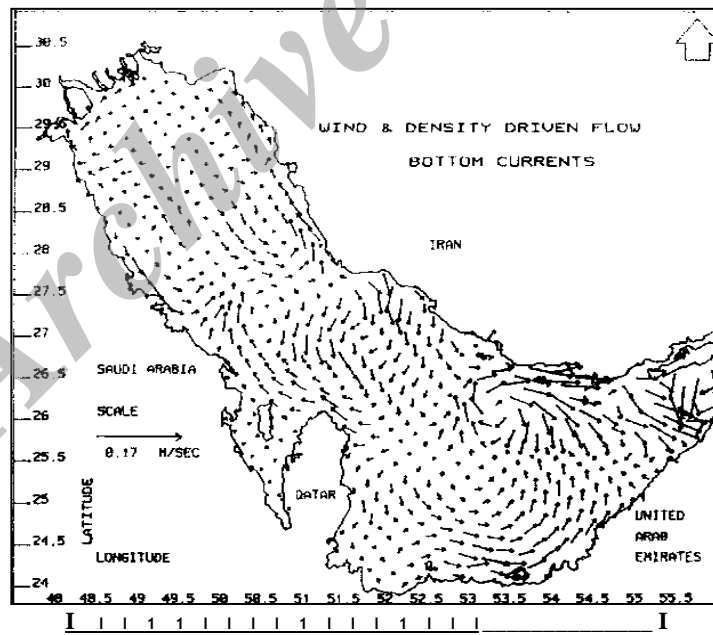
شکل ۱۳- جریان سطحی و خطوط هم شوری در فصل تابستان که توسط مدل Chao و همکاران در سال ۱۹۹۰ با در نظر گرفتن تبخیر، بادهای شمال غربی و ورودی رودخانه شط العرب نتیجه شده است (۲۶).



شکل ۱۲- جریان سطحی ناشی از رانش ماهانه باد اختلاف چگالی در طی ماه آگوست توسط لرنر (۱۴)



شکل ۱۴- جریان بستر محاسبه شده توسط میانگین باد ماه ژوئن و
گرادیان های چگالی از مرحله ۶ داده های گشت تحقیقاتی مونت



شکل ۱۵ - جریان بستر محاسبه شده توسط میانگین باد ماه آگوست و
گرادیان های چگالی از مرحله ۶ داده های گشت تحقیقاتی Mt-Mitchell (۱۲).

اصطکاک و فشار و نیروی کوریولیس به وجود می آید که نیروی کوریولیس همیشه عمود بر جهت جریان است.

نتیجه گیری

در این مقاله، در فرمول بندی مدل از تقریب بوسینسک به صورت معادلات لیپس استفاده شده که در آن معادله هیدرولوستاتیک به کار نرفته است. برای حل معادله فرا رفت در مدل، از الگوریتم بالا سوی وزن دار ترابرد مثبت معین چند بعدی (MPDATA) استفاده شده است . اساس این الگوریتم، طرحواره ساده پاد جریانسو است که در آن از مفهوم سرعت پاد پخش برای تعديل اثر پخش موجود در طرحواره استفاده شده است . برای حل معادله بیضوی حاصل از مدل، از روش باقی-مانده همیوغ تعمیم یافته (GCR) استفاده شده است. پس از انتخاب مدل و الگوریتم عددی، برای حل آن از کد فورترن اسمولارکیویچ و مارگولین (1995) استفاده شد. پس از شناخت کامل کد کامپیوتری مربوط به مدل، برای اطمینان از خروجی آن، کد بر روی توپوگرافی زنگی شکل، مورد استفاده قرار گرفت (۹). مدل عددی با شبکه به ابعاد $180 \times 555 \times 555$ کیلومتر مربع، 11346 نقطه، $\Delta X = \Delta Y = \Delta Z = 3000$ متر اجرا شده و توزیع غلظت و جهت ذرات نفت خام در تابستان طی $1/7$ و $1/15$ ساعت پس از حادثه ریزش اتفاقی در ترازهای $10, 5$ و $10, 5$ متر از سطح آب به دست آمد. نتایج مدل نشان می دهد جهت حرکت ذرات در تابستان به طرف بندر بوشهر می باشد که با تجربیات و مطالعات در توافق می باشد. این تحقیق می تواند در پیش بینی و جهت حرکت آلودگی نفت به منظور جمع آوری آلودگی ناشی از ریزش اتفاقی در دریا، جهت جلوگیری از خطر حرکت آن به طرف ساحل، مفید واقع شود.

نوآوری

- ۱- ارایه مدل عددی سه بعدی با روش جدید جهت پیش بینی حرکت لکه نفت در منطقه بین جزیره خارک و بندر بوشهر
- ۲- تأثیر سرعت شناوری (Buoyant Velocity) در معادله انتقال غلظت.

در منطقه بین جزیره خارک و بندر بوشهر در فصل تابستان بعد از حادثه ریزش اتفاقی، حرکت ذرات نفت تابع جریان، تغییرات زمانی سرعت آب و باد، تنفس باد و در پریودهای کمتر از ۲۴ ساعت تابع جریان جزر و مدي بوده و حرکت عمودی ذرات تابع تلاطم و پایداری ستون آب می باشد. در تابستان به دلیل کاهش سرعت باد، تلاطم و لایه اختلاط و افزایش پایداری و لایه بندی ستون آب و پیش روی بیشتر آب به طرف سواحل موجب می شود که حرکت ذرات به طرف ساحل بیشتر شده و نفوذ ذرات به طرف عمق کاهش داشته باشد. با توجه به شرایط اولیه و مرزی و لایه بندی و پایداری بیشتر آب در تابستان و افزایش نیروی شناوری (افزایش عدد ریچاردسون) و کاهش تلاطم (کاهش عدد رینولدز) و افزایش ویسکوزیته و کاهش لایه اختلاط و افزایش دما و کاهش چگالی سطحی آب، نفوذ ذرات به عمقی از ستون آب کاهش داشته و بیشتر در سطح تجمع می کند و پراکندگی ذرات بیشتر به سمت ساحل است تا دور از ساحل. نزدیک مرز سخت، تنفس رینولدز کاهش داشته و جریان بسیار ضعیف بوده و سرعت ذرات کمتر و دور از مرز سخت سرعت ذرات رو به افزایش بوده که در نهایت با جریان اصلی آب حرکت می کند. در نزدیک مرز در جریان تغییرات عمدۀ زمانی مشاهده نمی شود و حرکت ذرات ضعیف است و تجمع در نزدیک مرز بیشتر می باشد. تأثیر باد که در تابستان سرعت آن کمتر می باشد، حرکت ذرات را بیشتر در سطح تحت تأثیر قرار داده و با افزایش عمق، تأثیر آن (جریان ناشی از باد) نسبت به ذرات کاهش می یابد، یعنی در عمق سرعت آب ناشی از باد کم می شود و تأثیر ویسکوزیته پیچکی عمودی در عمق کاهش می یابد و با توجه به عمق اکمن، زاویه بین سرعت باد و سرعت جریان آب که حرکت ذرات نفت را تحت تأثیر دارد بیشتر می شود به گونه ای که نفوذ اصطکاک ناشی از تنفس باد نیز در ستون آب رو به کاهش می رود که تأثیر آن بر سرعت ذرات به طرف عمق کم می شود. از طرفی بزرگی نیروی کوریولیس به سمت راست کاهش داشته و چرخش جریان به سمت چپ ایجاد شده و یک تعادل بین

- ظرفیت جذب نفت، سواحل خلیج فارس طبقه بندی شود (بخصوص سواحل در معرض آلودگی نفت).
- ۳ جریان‌های ساحلی ناشی از شکست موج و باد که در امتداد ساحل و به دور از ساحل ایجاد می‌شوند نقش موثری می‌توانند در انتقال حرکت لکه نفتی داشته باشند. پیشنهاد می‌گردد در سایر مطالعات اثر جریان‌های ساحلی نیز در نظر گرفته شود.
- ۴ فشار بخار، ضرایب پخش عمودی و افقی در آب، قابلیت حلایت نفت در آب با توجه به شرایط جوی و دریایی منطقه مورد مطالعه، با دقت بالا و بطور دقیق محاسبه شوند.
- ۵ در اکثر مدل‌های ریزش نفت، نفت به عنوان یک مولفه منفرد در نظر گرفته می‌شود، از آن‌جا که نفت شامل چندین مولفه ترکیب شده می‌باشد، پیشنهاد می‌گردد نفت در مدل‌ها به صورت چند مولفه (ذرات با قطرهای مختلف) بررسی گردد.
- ۳ متغیر در نظر گرفتن ضرایب پخش عمودی و افقی در معادلات مربوط.
- ۴ عدم کاربرد معادله هیدروستاتیک در مدل سه بعدی.
- ۵ متغیر در نظر گرفتن چگالی جریان آب - نفت خام در معادلات حرکت.
- ۶ ارایه مدل سه بعدی هیدرودینامیک جهت بررسی جریان‌ها.
- ۷ بررسی توزیع غلظت و جهت ذرات در ترازهای مختلف از سطح آب در زمان‌های متفاوت.

پیشنهادها

- ۱ جهت بررسی دقیق تر فرآیندهای مولفه بر لکه نفت ریزش شده، بهتر است تاثیر گردش‌های لانگمیر (Langmuir) بر پراکندگی عمودی ذرات نفت در ستون آب مورد مطالعه قرار گیرد.
- ۲ از آن‌جا که جذب نفت در ساحل به رسوب ساحل، خلل و فرج، فشار آب و شب ساحل وابسته می‌باشد. ضروری است که به صورت کامل با توجه به نوع رسوب و شکل هندسی ساحل و حساسیت

۱۶ - علایم و نشانه‌ها:

علایم	شرح	علایم	شرح	علایم	شرح	علایم	شرح	علایم	شرح
محور کوچک بیضی به متر (m)	L_{\min}	ضریب ویسکوزیته پیچکی افقی	v_h	تخلیه کلی		Q_K	مساحت لکه نفت به متر مربع (m ²)	A	
محور بزرگ بیضی به متر (m)	L_{\max}	به ترتیب ضرایب ویسکوزیته آسفتگی در جهت- های y, x	V_{ty}, V_{tx}	سرعت باد به نات (Knots)		U_{wind}	به ترتیب نواحی قطع عرضی در جهت‌های y, x	A_y, A_x	
فشار متوسط زمانی	P	ویسکوزیته جنیشی آب	V_w	مولفه‌های سرعت متوسط زمانی به ترتیب در جهت- های طولی x, عرضی y و عمقی z		U, V, W	به ترتیب نواحی کل مقطع عرضی در جهت‌های y, x	A_{ty}, A_{tx}	

دبی خروجی جزر و مدى طی فصل مشترک	Q_T	چگالی جریان نفت - آب	ρ	حجم کل نفت ریزش شده به (Barrels) بشکه	V_{oil}	غلظت ذرات نفت	C
سرعت شناوری ذرات نفت	ω_b	چگالی هوا	ρ_a	ترم تأثیر منبع	$\sum S$	ضریب پسا	C_d
سرعت زاویه ای چرخش زمین	ω	چگالی جرم نفت به کیلوگرم بر متر مکعب	ρ_o	زمان به دقیقه	t	به ترتیب ضرایب پخش در جهت‌های x, y, z	D_x, D_y, D_z
عرض جغرافیایی	ϕ	چگالی جرم آب به کیلوگرم بر متر مکعب	ρ_w	طول اختلاط	l_m	اندازه متوسط ذره نفت	d
پارامتر کوریولیس	$\Omega = 2\omega \sin \phi$	عدد آشفتگی اشمیت	$\sigma_{\varphi z}$	طول اختلاط طبیعی	l_{mo}	شتاب نقل	g
تشهای برشی افقی حاصل از انتقال ممتنم آشفتگی عمودی	τ_x τ_y	and تباش هزای بین مراکز و لزجت آشفتگی جنیشی و لزجت موثر جنبشی	$\Delta\rho = \rho_w - \rho_o$, اختلاف چگالی	$\Delta\rho = \rho_w - \rho_o$, اختلاف چگالی	Δ_y, Δ_x	کسری از نفت در مخلوط	F_{ow}
به ترتیب لزجت مولکولی جنبشی و لزجت آشفتگی جنیشی و لزجت موثر جنبشی	V_e, V_t, V	به ترتیب مسافت- های مراکز عنصر در جهت- های y, x				فاکتورهای تجربی	F_1, F_0 و α

منابع

3. Price, A.R.G. and Robinson, J.H, Marine Pollution Bulletin, Pergamon Press 1 .td, pp.3-7, 97-98, 1993.
4. Di Martino B., Peybernes M., Simulation of an oil slick movement using a shallow water model Original Research Article Mathematics and Computers in Simulation, Vol. 76, Issues 1–3, 12 October, Pp. 155-160,2007
5. بدري س، حسن زاده ا، حكيم زاده هو، شبيه سازی عددی حرکت لکه نفت در خليج فارس تحت تاثير عوامل جزر و مدي درنزيديکي جزيره خارك و بندر عسلويه، كنفرانس فيزيك ايران، ۱۳۹۱ <http://badri.iut.ac.ir/fa/kahesh-fa>
1. Cekirge H.M., Al-Rabeh A.H., Gunay N., Determining the wind-driven surface currents for prediction of movements of oil slicks in the Persian Gulf Original Research Article Computers & Mathematics with Applications, Vol. 17, Issue 11, pp. 1449-1453, 1989.
2. Daniel , P., Poitevin J., A Numerical Study of Movements of an Oil Slick on the Sea Surface in the Persian Gulf From 25 January 1991 to 1 February 1991" , First thematic Conference on Remote Sensing for Marine and Coastal Environments, pp.249-260,1992.

12. Comerma, E. and et al, Inclusion of an Oil Database into a Forecasting System, Proceedings of AMOP, Victoria ,Canada, pp.1-17,2003.
13. Daniel , Pierre, Operational Forecasting of Oil Spill Drift at Meteo-France, Spill Science & Technology Bulletin(Pergamon), Vol.3, No.112, pp.53-64, 1996.
14. Lardner, R.W ., and et al, Computation of the Residual flow in the Gulf using the Mt Mitchell Data and the KFUPM/RI Hydrodynamical Models, Marine Pollution Bulletin (Pergamon Press Ltd) , Vol.27,pp.61-70, 1993.
15. Riazi , Mohammad R. and et al, Modelling of the Rate of Oil Spill Disappearance from Seawater for Kuwaiti Crude and Its Products ,Chemical Engineering Journal (Elsevier) , Vol. 73, pp.161-172, 1999.
16. Riazi, Mohammad R. and Edalat, Mohsen, Prediction of the Rate of Oil Removal from Seawater by Evaporation and Dissolution, Journal of Petroleum Science and Engineering (Elsevier), Vol.16, pp. 291-300.
17. ابوالحمد، گیتی، مبانی پالایش نفت، انتشارات دانشگاه تهران، صفحات ۹۳، ۸۳، ۷۹، ۷۷، ۵، ۳۶، ۱۳۴، ۱۳۶، ۱۶۹، ۲۵۲، ۳۰۱-۳۰۴، ۹۱، ۳۲۲، .۱۳۸۱، ۵۶۹-۶۰۳، .۱۳۷۶-۴۴۲.
18. خسروی، مرتضی، شیمی نفت، روش های تصفیه و فرآورده های پالایشگاه ها، انتشارات دانشگاه تهران ، صفحات ۱۴۴، ۱۳۹، ۱۰۱، ۴۷، ۲۹، ۱۵، ۱۳، .۴۰۵.۱۳۷۶-۴۴۲
۶. م. صالحی پورباورصاد، ن. حاجی زاده ذاکر، مو. اردستانی، مدل سازی لکه نفتی و مقایسه مسیر حرکت تحت تأثیر بادهای مختلف در خلیج فارس، نخستین همایش ملی مهندسی مخازن هیدرولوژیکی، علوم و صنایع وابسته ، ۱۳۹۱.
- <http://mrfi.ir/asli/MBAmaghale/MBA1/MBA47/MBA92.htm>
۷. واصل علی ع.. آزم سا س.. واصل علی مو بررسی تاثیر جریان های دریایی بر انتشار آلودگی های نفتی و مقایسه دو مدل ریاضی و تجربی در پیش بینی حرکت لکه های نفتی(مطالعه موردی خلیج فارس) ششمین، همایش علوم و فنون دریایی ۱۳۸۴.
- http://www.civilica.com/Paper-ICMST06-ICMST06_016.html
۸. س. ر، صباحیزدی، مدل دوبعدی جزرومدمی پراکنش نفت در خلیج فارس با حل معادلات میانگین عمقی برروی شبکه اجزایی ساختار، مجله علمی و پژوهشی علوم و تکنولوژی محیط زیست شماره ۷ و ۸، مرکز انتشارات علمی دانشگاه آزاد اسلامی صفحات ۱۳-۳۱، ۸۰-۸۱، ۱۳۷۹.
۹. م، عرب حسین، مطالعه عددی میدان باد در یک منطقه با توپوگرافی، پایانامه کارشناسی ارشد، موسسه زئوفیزیک-دانشگاه تهران-صفحات ۴۳-۱۷، ۱۳۸۳.
10. Habibi. S, Torabi Azad. M & Bidokhti. A.A, A numerical model for the prediction of movement of gas condensate from spill accidents in the Assalouyeh marine region, Persian Gulf, Iran , Indian Journal of Marine Sciences., 37, No.3 pp.233-242, 2008.
11. Chao , Xiaobo and et al , Development and Application of Oil Spill Model for Singapore Coastal Waters, Journal of Hydraulic Engineering , ASCE , pp .495-503,2003.

- First thematic Conference on Remote Sensing for Marine and Coastal Environments , pp.249-260,1992.
24. Abdel rahman, saad M.and et al. A Note on the Residual currents in the presian Gulf,Elsevier Science Ltd (Pergamon),Continental Shelf Research , vol . 15, No .8, PP. 1015-1022, 1995.
۲۵. شرکت پارگاز ایران، گزارش بررسی اقیانوسی، سازمان انرژی اتمی ایران، بوشهر(NPP) ۱۳۷۵.
26. Chao, Shenn-Yu and et al., A Numerical Investigation of Circulation in the Persian Gulf, Journal of Geophysical Research, Vol.97, No. C7, pp.11219-11236, 1999.
۱۹. نوری، سیروس، شیمی و فن آوری نفت ، انتشارات دانشگاه ارومیه ، صفحات ۳۳ ، ۴۵ ، ۴۶ ، ۳۸ ، ۶۰ ، ۱۳۸۲ ، ۳۰۲ ، ۲۴۶ ، ۲۳۱ ، ۷۰ -۷۱
۲۰. سازمان نقشه برداری کشور، جداول جزئی خلیج فارس و دریای عمان، سازمان نقشه برداری کشور، صفحات ۱۱-۱۸۱ ، ۱۳۸۳ (۴) و ۲۰۰۴ (۵) میلادی).
21. Lipps, F.B, On the Anelastic Approximation for Deep Convection, J.Atmos. SCi, 39, pp. 2192-2210, 1990.
22. Somolarkiewicz / P.K. and L. Margolin, On Forward in Time Differencing for Fluids: An Eulerian/semi – lagrangian Nonhydrostatic Model for stratiedl Flows.”, Tj. Artmos – Ocean special 35, PP. 127-152, 1995.
23. Daniel , Pierre, A Numerical Study of Movements of an Oil Slick on the Sea Surface in the Persian Gulf From 25 January 1991 to 1 February 1991 ,